

迭代未知输入观测器设计—基于迭代学习控制思想

朱芳来

观测器设计的基本思想

上世纪60年代中下期，针对线性系统，提出了Luenberger观测器设计方法，用于估计系统未知状态。考虑如下的线性时不变系统

$$\begin{cases} \dot{x} = Ax + Bu \\ y = Cx \end{cases} \quad (1)$$

观测器的定义：线性系统(1)的观测器是基于原系统(1)的已知信息(通常是看成输出 y 和控制输入 u)所构造出的一个新动态系统，使得新系统的输出为原系统(1)状态的渐近收敛估计。

$$\text{Luenberger全维观测器: } \dot{\hat{x}} = A\hat{x} + Bu + L(y - C\hat{x}) \quad (2)$$

其中 $L \in \mathbf{R}^{n \times p}$ 称为观测器增益矩阵。

未知输入观测器设计

Luenberger观测器提出不久，在上世纪60年代末期，未知输入观测器就得到了关注。

考虑具有未知输入的线性系统：

$$\begin{cases} \dot{x} = Ax + Bu + D\eta \\ y = Cx \end{cases} \quad (3)$$

其中 $x \in \mathbf{R}^n, u \in \mathbf{R}^m, y \in \mathbf{R}^p$ 分别是系统的状态，控制输入和观测输出向量，而 $\eta \in \mathbf{R}^q$ 为系统的未知输入，表征系统的外部干扰，模型参数的不确定性，执行器故障等未知信号的综合。

针对具有未知输入的系统(3)进行观测器设计，不仅估计出系统的未知状态 x ，同时还估计出系统的未知输入 η ，称为未知输入观测器设计。

迭代未知输入观测器设计

显然，在未知输入 η 已知的假设下，可以设计如下的Luenberger观测器

$$\dot{\hat{x}} = A\hat{x} + Bu + D\eta + L(y - C\hat{x}) \quad (4)$$

但事实上， η 是未知，所以观测器(4)不可实施。称(4)为系统(3)的虚拟观测器。 $\tilde{x} = x - \hat{x}$, $\tilde{y} = y - \hat{y}$ 为虚拟观测器的状态估计误差和输出估计误差，其中 $\hat{y} = C\hat{x}$ 。理论上，有 $\lim_{t \rightarrow \infty} \tilde{x}(t) = 0$, $\lim_{t \rightarrow \infty} \tilde{y}(t) = 0$ 且 $\lim_{t \rightarrow \infty} \dot{\tilde{y}}(t) = 0$ 。

迭代未知输入观测器设计方法

给出未知输入 $\eta(t)$ 的迭代估计初值 $\eta_0(t)$, 针对该未知输入迭代初值, 构造第0步虚拟系统

$$\dot{x}_0 = Ax_0 + Bu + D\eta_0 \quad (5)$$

针对第0步虚拟系统, 构造Luenberger观测器:

$$\dot{\hat{x}}_0 = A\hat{x}_0 + Bu + D\eta_0 + L(y - C\hat{x}_0) \quad (6)$$

称系统(6)为原未知输入系统(3)的第0步迭代未知输入观测器。第0步的状态估计误差, 输出估计误差和未知输入估计误差分别记为:

$$\tilde{x}_0 = x - \hat{x}_0, \tilde{y}_0 = y - C\hat{x}_0, \tilde{\eta}_0 = \eta - \eta_0$$

在此基础上，提出未知输入D型迭代估计：

$$\eta_1(t) = \eta_0(t) + \Gamma \dot{\tilde{y}}_0(t)$$

迭代出 $\eta_1(t)$ ，其中 Γ 待设计的迭代增益矩阵。

不失一般性，设得到了第k步的未知输入估计 $\eta_k(t)$ ，为此构造第k步的虚拟状态方程

$$\dot{x}_k(t) = Ax_k(t) + Bu(t) + D\eta_k(t) \quad (7)$$

针对系统(7)，利用原系统的已知信号(控制输入u和可测输出y)，构造第k步迭代未知输入观测器

$$\dot{\hat{x}}_k(t) = A\hat{x}_k(t) + Bu(t) + D\eta_k(t) + L(y(t) - C\hat{x}_k(t)) \quad (8)$$

第k步迭代状态估计，输出估计和未知输入估计误差分别记为

$$\tilde{x}_k(t) = x(t) - \hat{x}_k(t), \tilde{y}_k(t) = y(t) - C\hat{x}_k(t), \tilde{\eta}_k(t) = \eta(t) - \eta_k(t)$$

在此基础上，提出第k+1步未知输入估计方法：

$$\eta_{k+1}(t) = \eta_k(t) + \Gamma \dot{\tilde{y}}_k(t) \quad (9)$$

需要考虑的问题是：迭代增益 Γ 满足什么条件，可使得如下的迭代未知输入观测器

$$\begin{cases} \dot{\hat{x}}_k(t) = A\hat{x}_k(t) + Bu(t) + D\eta_k(t) + L(y(t) - C\hat{x}_k(t)) \\ \eta_k(t) = \eta_{k-1}(t) + \Gamma \dot{\tilde{y}}_{k-1}(t) \end{cases}, (k = 0, 1, \dots) \quad (10)$$

满足： $\lim_{k \rightarrow \infty} \hat{x}_k(t) = x(t), \forall t \in [0, T]$ 且 $\lim_{k \rightarrow \infty} \hat{\eta}_k(t) = \eta(t), \forall t \in [0, T]$ 。 (10)中，

$$\tilde{y}_{k-1}(t) = y(t) - C\hat{x}_{k-1}(t) \quad (11)$$

定理1: 对于未知输入系统(3)及其迭代未知输入观测器(10), 如果满足: (i) $\|I - \Gamma CD\| < 1$, 且(ii) $\hat{x}_k(0) = \hat{x}_{k-1}(0) + D\Gamma\tilde{y}_{k-1}(0), (k = 1, 2, \dots)$, 则有 $\lim_{k \rightarrow \infty} \hat{x}_k(t) = x(t), \forall t \in [0, T]$ 且 $\lim_{k \rightarrow \infty} \hat{\eta}_k(t) = \eta(t), \forall t \in [0, T]$ 。

为了消去(10)中 $\eta_k(t) = \eta_{k-1}(t) + \Gamma\dot{\tilde{y}}_{k-1}(t), (k = 0, 1, \dots)$ 中的微分信息, 先将它带入(10)中的第一是, 并做化简得到

$$\dot{\hat{x}}_k(t) = (A - LC)\hat{x}_k(t) + Bu(t) + D\eta_{k-1}(t) + D\Gamma\dot{y}(t) - D\Gamma C\dot{\hat{x}}_{k-1}(t) + Ly(t) \quad (12)$$

针对(12), 做平移变换 $z_k(t) = \hat{x}_k(t) - D\Gamma y(t) + D\Gamma C\hat{x}_{k-1}(t)$, 则关于平移变换后状态 $z_k(t)$ 的状态方程为

$$\begin{aligned} \dot{z}_k(t) = & (A - LC)z_k(t) - (A - LC)D\Gamma C\hat{x}_{k-1}(t) + Bu(t) \\ & + D\eta_{k-1}(t) + [(A - LC)D\Gamma + L]y(t) \end{aligned} \quad (13)$$

根据 $z_k(t) = \hat{x}_k(t) - D\Gamma y(t) + D\Gamma C\hat{x}_{k-1}(t)$ 可以递推出

$$\hat{x}_k(t) = \sum_{l=0}^k (-1)^l (D\Gamma C)^l z_{k-l}(t) + \left[\sum_{l=0}^k (-1)^l (D\Gamma C)^l D\Gamma \right] y(t) + (-1)^k \hat{x}_0(t) \quad (14)$$

于是，得到迭代未知输入观测器：

$$\begin{cases} \dot{z}_k(t) = (A - LC)z_k(t) - (A - LC)D\Gamma C\hat{x}_{k-1}(t) + Bu(t) \\ \quad + D\eta_{k-1}(t) + [(A - LC)D\Gamma + L]y(t) \\ \hat{x}_k(t) = \sum_{l=0}^{k-1} (-1)^l (D\Gamma C)^l z_{k-l}(t) + \left(\sum_{l=0}^{k-1} (-1)^l (D\Gamma C)^l \right) D\Gamma y(t) + (-1)^k (D\Gamma C)^k \hat{x}_0(t) \\ \eta_k(t) = \eta_{k-1}(t) + \Gamma \ddot{y}_{k-1}(t) \end{cases} \quad (15)$$

($k = 1, 2, \dots$)

仿真

考虑某飞行器的定杆横向飞行的线性简化模型,该模型描述成式(3)的形式,其中

$$A = \begin{bmatrix} -0.08 & -0.030 & -0.157 & 0 \\ -0.73 & -0.377 & 0 & 1 \\ 0 & 0 & 0 & 1 \\ 0 & -8.650 & 0 & -0.5 \end{bmatrix} \quad D = B = \begin{bmatrix} 1.54 & -0.020 \\ -0.1 & -0.056 \\ 0 & 0 \\ 0 & -6.50 \end{bmatrix} \quad C = \begin{bmatrix} 0 & 1 & 0 & 0 \\ 0 & 0 & 0 & 1 \end{bmatrix}$$

将系统的极点配置到 $-0.487 \pm 2.335j$, -8.435 和 -0.00877 。取控制输入为

$u=0$. $\hat{x}_k(0)=[0;0;0;0]$ $\eta(t)=\begin{bmatrix} 5\cos(2t) \\ \sin(t) \end{bmatrix}$ 。结果200次迭代, 有

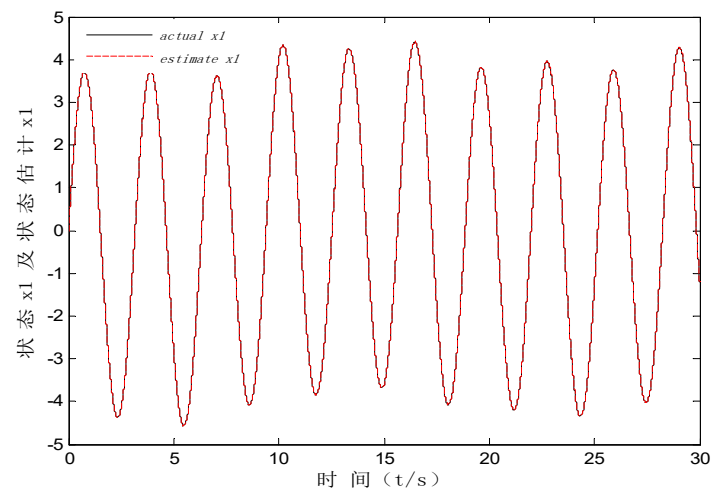


图1：状态 x_1 的估计

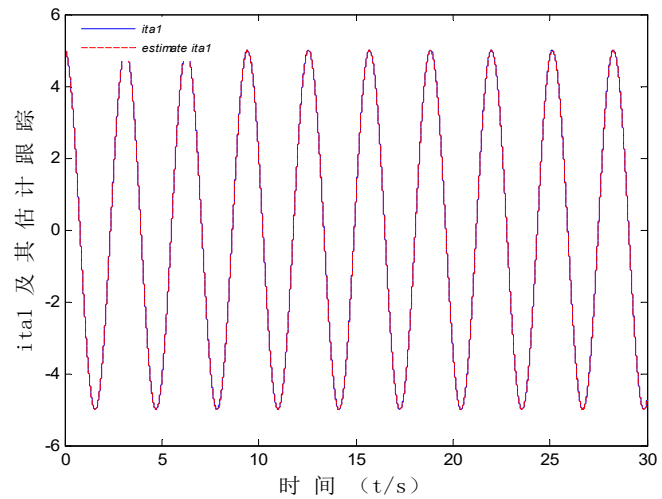


图2：第一个未知输入的估计

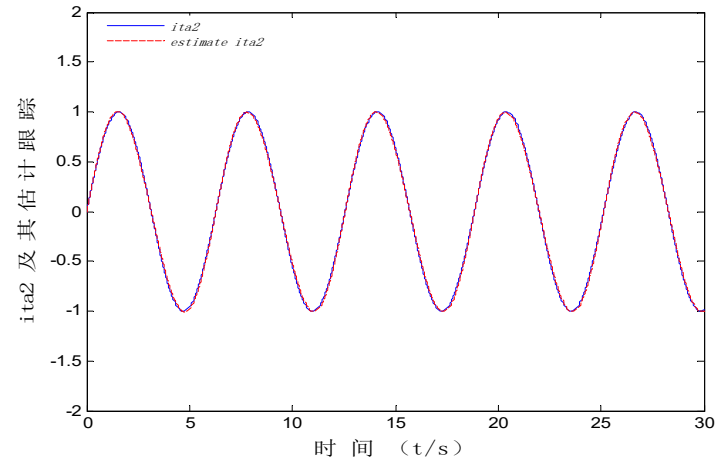


图3：第二个未知输入的估计